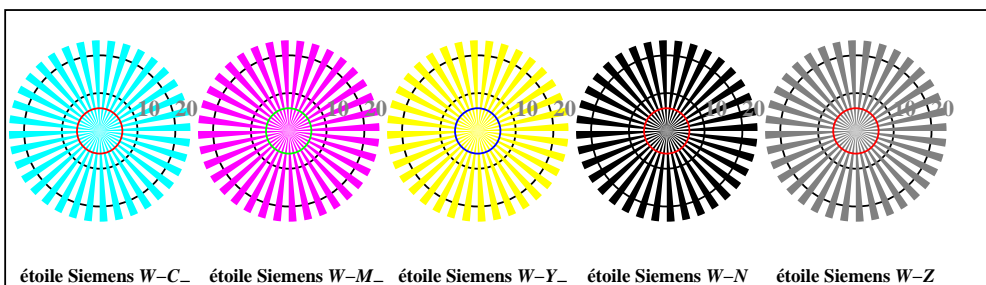


TF981-1, Fig. B4W-: 16 paliers équidistants $W-C_-$; $W-M_-$; $W-Y_-$; $W-N$; $rgb/cmy0$ set($rgb/cmyk$).color

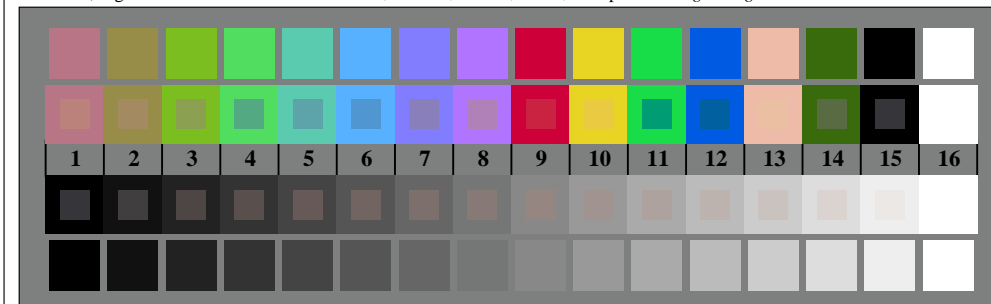
+-.:	Q	lmno	pqrs	tuw
xyz;	O	hijk	lmno	pqr
tuvw	O	defg	ijkl	mno
pqrs	O	!abc	lmno	hijk
lmno	O	+-.:	defg	ijkl
hijk	C	xyz;	!abc	lmno
defg	O	tuvw	pqrs	hijk
!abc	O	defg	lmno	defg
10	N	6	8	4
				$N\ C\ M\ Y\ Z$

TF981-3, Fig. B5W-: code et anneau de Landolt N ; C_- ; M_- ; Y_- ; Z ; PS opérateur: rgb setrgbcolor

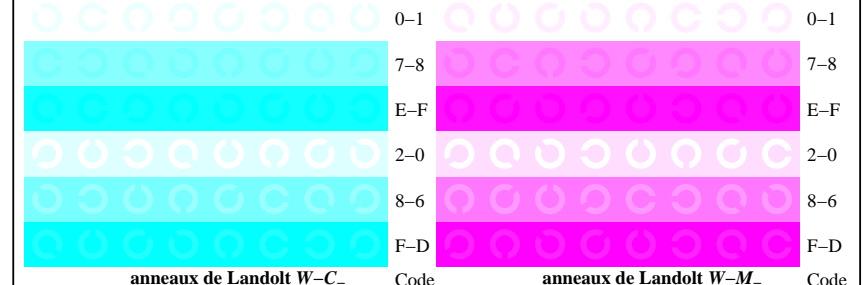


étoile Siemens $W-C_-$ étoile Siemens $W-M_-$ étoile Siemens $W-Y_-$ étoile Siemens $W-N$ étoile Siemens $W-Z$

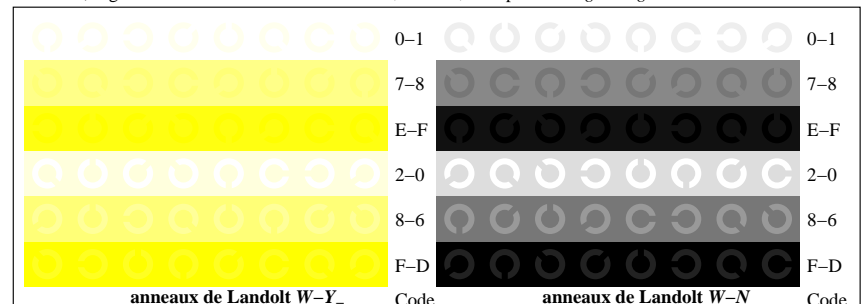
TF980-5, Fig. B2W-: étoile de Siemens $W-C_-$; $W-M_-$; $W-Y_-$; $W-N$; PS opérateur : rgb setrgbcolor



TF980-7, Fig. B3W-: 14 CIE test couleurs et 2 + 16 paliers de gris (sf); PS opérateur: $rgb/cmy0$ set($rgb/cmyk$).color



TF981-5, Fig. B6W-: anneaux de Landolt $W-C_-$; $W-M_-$; PS opérateur: rgb setrgbcolor



TF981-7, Fig. B7W-: anneaux de Landolt $W-Y_-$; $W-N$; PS opérateur: rgb setrgbcolor